

I-16 連続アーチの弾塑性解析

九州大学 工学部 正員 山崎徳也
“ ” 学生員。石川信隆

アーチの塑性解析には従来 E.T.Ohni, W.Prager, 横尾, 山角および奥村氏らの諸研究があるが、著者らは弾塑性領域を考慮したアーチのたわみ角式をエネルギー式より誘導し、たわみ角式によるアーチの弾性解析と同一手法で弾塑性解析を行なうことを企図した。本論文においては等断面円弧アーチを取り扱うが次のとおり仮定を用いる。すなわち、(1) 降伏にいたる条件として曲げモーメントのみを考慮し、軸力およびせん断力は無視する。(2) アーチの座屈による影響を考慮しない。(3) 残留応力および歪硬化も考慮しない。

(I) たわみ角式の誘導 M -中カーブを図-1のごとき近似したエネルギー式の誘導考察は別途に報告したので、ここではその結果のみを採用する。すなわち、弾塑性領域を含む初期モードは、 $\bar{U} = \int_{EI+PZEI}^M ds + K_0 \left[\frac{(M-M_p)^2}{2EI} ds + K_0 \int_{EI}^B \frac{(M-M_p)^2}{2EI} ds \right] \dots \dots (1)$ で表わされる。ここに、
 EI : 曲げ剛性, $K_0 = K-1$, K : M -中近似直線の勾配に因するfactor, ds : 微小軸長, 積分記号の添字Eは弾塑性領域の長さを、またPは塑性領域のそれを示すものとする。

a)両端に塑性領域が生ずる場合 図-2に示す弾塑性部材ABを考え。両端A, Bに塑性領域AA', BB'が生ずるものとすれば、エネルギー式は次のようになる。 $\bar{U} = \int_A^B \frac{M^2}{2EI} ds + K_0 \left[\frac{(M-M_p)^2}{2EI} ds + K_0 \int_B^P \frac{(M-M_p)^2}{2EI} ds \right] \dots \dots (2)$

ここに M_{yA}, M_{yB} は A', B' の降伏曲げモーメントと示す。また任意点の曲げモーメントは、一般に次のように表わされる。
 $M = M_{yA} \frac{x-x_0}{l} - M_{yB} \frac{x}{l} - H_y + M_0 \dots \dots (3)$ ただし M_0 は単純アーチばかりの荷重による曲げモーメントとする。

ここで極座標への変換を行い、(2)式に Complementary Minimum Principle を適用すれば、両端の切線角 θ_A, θ_B および部材の伸縮 Δl が次のとくえられる。

$$\begin{aligned} \left(\frac{EI}{r} \right) \theta_A &= (A_1 - A_2 + A_3) M_{yA} + (A_1 - A_2) M_{yB} + h'_A H - (m_A^*)' M_{yA} - (m_A^*) M_{yB} + C_1 \\ \left(\frac{EI}{r} \right) \theta_B &= (A_1 - A_2) M_{yA} + A_2 M_{yB} - h'_B H + (m_B^*)' M_{yA} + (m_B^*) M_{yB} - C_2 \end{aligned} \quad \dots \dots (4)$$

$$\Delta l = \frac{r}{EI} (h'_A M_{yB} - h'_B M_{yA}) - \frac{r^2}{EI} (h'_A H - m_A^* M_{yA} - m_B^* M_{yB}) + C_3 \dots \dots (5)$$

ここに $A_1 = \frac{\theta}{2}(1+\sigma) + \frac{K_0}{4} \left\{ D_1 \left(1 + \frac{1}{\sin \theta} \right) - \frac{D_2}{\sin \theta} D_2 - \frac{D_3}{4 \sin \theta} D_3 \right\}$, $A_2 = \theta + \frac{K_0}{2} \left(D_2 - \frac{D_3}{\sin \theta} \right)$, $A_3 = \theta + \frac{K_0}{2} \left(D_3 + \frac{D_2}{\sin \theta} \right)$, σ, d, β は塑性領域の範囲を示す角を表す。

$$h'_A = -\theta \lambda + \frac{K_0 r}{2} (D_1 \cos \theta + D_2 \cot \theta - D_3 - \frac{D_2}{4} \csc \theta), \quad h'_B = -\theta \lambda + \frac{K_0 r}{2} (D_1 \cos \theta - D_2 \cot \theta - D_3 + \frac{D_2}{4} \csc \theta),$$

$$k'_A = r \theta \lambda + K_0 r (D_1 (\cos \theta + \frac{1}{2}) - 2 D_2 \cos \theta + \frac{D_3}{4}), \quad (m_A^*)' = \frac{K_0}{2} (\alpha - \frac{\cos \theta - \cos(\theta-\alpha)}{\sin \theta}), \quad (m_A^*) = \frac{K_0}{2} (\beta + \frac{\cos \theta - \cos(\theta-\beta)}{\sin \theta}),$$

$$(m_B^*)' = \frac{K_0}{2} (\alpha + \frac{\cos \theta - \cos(\theta-\alpha)}{\sin \theta}), \quad (m_B^*) = \frac{K_0}{2} (\beta - \frac{\cos \theta - \cos(\theta-\beta)}{\sin \theta}), \quad m_0^* = K_0 (\alpha \cos \theta + \sin(\theta-\alpha) - \sin \theta), \quad m_0^* = K_0 (\beta \cos \theta + \sin(\theta-\beta) - \sin \theta).$$

D_1, D_2, D_3, D_4, D_5 は表-1(a)で与えられ、 θ, α, β は円弧部材の性状を示す係数で詳しく述べる。図-1, 2, 3 は荷重項に因する値で次のとく求められる。 $C_1 = \frac{EI}{r} G_A + K_0 \int_{\theta=0}^{\theta=\alpha} \left(\frac{M_0}{2} \left(1 - \frac{\cos \theta}{\sin \theta} \right) d\theta \right) + K_0 \int_{\theta=\alpha}^{\theta=\beta} \left(\frac{M_0}{2} \left(1 - \frac{\cos \theta}{\sin \theta} \right) d\theta \right) + K_0 \int_{\theta=\beta}^{\theta=0} \left(\frac{M_0}{2} \left(1 + \frac{\cos \theta}{\sin \theta} \right) d\theta \right) + K_0 \int_{\theta=0}^{\theta=0} \left(\frac{M_0}{2} \left(1 + \frac{\cos \theta}{\sin \theta} \right) d\theta \right)$, $C_2 = \frac{EI}{r} G_B + K_0 \int_{\theta=0}^{\theta=\beta} \left(\frac{M_0}{2} \left(1 + \frac{\cos \theta}{\sin \theta} \right) d\theta \right) + K_0 \int_{\theta=\beta}^{\theta=\alpha} \left(\frac{M_0}{2} \left(1 - \frac{\cos \theta}{\sin \theta} \right) d\theta \right) + K_0 \int_{\theta=\alpha}^{\theta=0} \left(\frac{M_0}{2} \left(1 + \frac{\cos \theta}{\sin \theta} \right) d\theta \right) + K_0 \int_{\theta=0}^{\theta=0} \left(\frac{M_0}{2} \left(1 - \frac{\cos \theta}{\sin \theta} \right) d\theta \right)$, $C_3 = N + \frac{K_0}{EI} \int_{\theta=0}^{\theta=\alpha} M_0 y ds + \frac{K_0}{EI} \int_{\theta=0}^{\theta=\beta} M_0 y ds$ 。ただし G_A, G_B, N は弾性時に考慮した値と同値で既往の文献(2)をそのまま利用する。

(4)式に $\theta_A = \theta_A - R, \theta_B = \theta_B - R, K = I/S = r^2/I = K_0, \phi_A = 2EK\theta_A, \phi_B = 2EK\theta_B, \psi = -6EK_0R$ の置換を行なった後、連立に解けば、所要のたわみ角式が次のとくえられる。

$$\begin{aligned} M_{AB} &= k_r (a_{AB}\phi_A + b_{AB}\phi_B + c_{AB}\psi) + h_{AB}H + m_A^* M_{yA} + m_B^* M_{yB} + C_{AB} \\ M_{BA} &= k_r (a_{BA}\phi_B + b_{BA}\phi_A + c_{BA}\psi) + h_{BA}H + m_A^* M_{yA} + m_B^* M_{yB} + C_{BA} \end{aligned} \quad \dots \dots (6)$$

ここに $a_{AB} = A_1 \theta/A, b_{AB} = (A_2 - A_1) \theta/A, c_{AB} = A_2 \theta/A, a_{BA} = (A_1 - A_2 + A_3) \theta/A, b_{BA} = A_2 \theta/A, c_{BA} = A_3 \theta/A, h_{AB} = -(2A_1 A_2) \theta/A + K_0 r (D_1 \cos \theta - \frac{D_2}{4 \sin \theta})/A$,

$$h_{BA} = \{(2A_2 - 2A_1 - A_3)(\theta \lambda + \frac{K_0 r}{2} (D_1 \cos \theta) - A_2 \cot \theta - \frac{D_3}{4 \sin \theta})\}/A, \quad m_A^* = \{A_1 \theta - \frac{A_2}{2} (\alpha + \frac{\cos \theta - \cos(\theta-\alpha)}{\sin \theta})\} K_0/A,$$

$$m_B^* = \{(A_2 - A_1) \theta - \frac{A_3}{2} (\alpha + \frac{\cos \theta - \cos(\theta-\alpha)}{\sin \theta})\} K_0/A, \quad m_0^* = \{A_1 \theta - \frac{A_2}{2} (\beta - \frac{\cos \theta - \cos(\theta-\beta)}{\sin \theta})\} K_0/A, \quad m_0^* = \{(A_2 - A_1) \theta - \frac{A_3}{2} (\beta - \frac{\cos \theta - \cos(\theta-\beta)}{\sin \theta})\} K_0/A,$$

$$C_{AB} = \{C_2 (A_2 - A_1) - C_1 A_3\}/A, \quad C_{BA} = \{(A_1 - A_2) (C_1 + C_3) + C_2 A_3\}/A, \quad A = A_1 (A_2 + A_3) - A_2^2.$$

b) 道中にのみ塑性領域が生ずる場合(図-3参照)

に生ずる塑性領域を入れて説明すれば、

$$M_{AB} = \rho_e (A_{AB} \phi_a + b_{AB} \phi_b + C_{AB} \psi) + h_{AB} H + m_A^x M_{yA} + m_A^y M_{xA} + m_A^z M_{yA} + m_A^x M_{yB} + m_A^y M_{xB} + C_{AB}$$

$$M_{BA} = \rho_e (A_{BA} \phi_b + b_{BA} \phi_a + C_{BA} \psi) + h_{BA} H + m_B^x M_{yB} + m_B^y M_{xB} + m_B^z M_{yB} + m_B^x M_{yA} + m_B^y M_{xA} + C_{BA}$$

$$\Delta L = \frac{r}{EI} (h_B' M_{BA} - h_A' M_{AB}) - \frac{r^2}{EI} (h_A' H - m_A^x M_{yA} - m_A^y M_{xA} - m_A^z M_{yA} - m_B^x M_{yB} + m_B^y M_{xB}) + C_s$$

こゝに上式中の係数中 $A_{AB}, b_{AB}, C_{AB}, A_{BA}, b_{BA}, C_{BA}$ は(6)式, h_A', h_B', h_L' は(5)式と同じ表現をもち、たゞ式中の $D_1 \dots D_5$ 値の内容が異り表-1(b)で与えられ、残りの係数 $m_A^x \dots m_B^y$ は次式となる。

(註) $\delta, \delta_1, \delta_2, \delta_1', \delta_2'$ はそれぞれ塑性領域を示す角を表わす。

$$m_A^x = [A_1 \delta - \frac{A_2}{2} (\delta - \frac{1 - \cos \delta}{\sin \theta})] \frac{K_0}{A}$$

$$m_B^x = [(A_2 - A_1) \delta - \frac{A_3}{2} (\delta - \frac{1 - \cos \delta}{\sin \theta})] \frac{K_0}{A}$$

$$m_L^x = K_0 (\delta \cos \theta - \sin \delta)$$

図-3

$$m_A^y = [A_1 \delta - \frac{A_2}{2} (\delta - \frac{\cos \delta - 1}{\sin \theta})] \frac{K_0}{A}$$

$$m_B^y = [(A_2 - A_1) \delta - \frac{A_3}{2} (\delta - \frac{\cos \delta - 1}{\sin \theta})] \frac{K_0}{A}$$

$$m_L^y = K_0 (\delta \cos \theta - \sin \delta)$$

図-3

$$m_A^z = [A_1 \delta_1 - \frac{A_2}{2} (\delta_1 - \frac{\cos(\delta_1 - \delta_2) - \cos(\theta_1)}{\sin \theta_1})] \frac{K_0}{A}$$

$$m_B^z = [(A_2 - A_1) \delta_1 - \frac{A_3}{2} (\delta_1 - \frac{\cos(\delta_1 - \delta_2) - \cos(\theta_1)}{\sin \theta_1})] \frac{K_0}{A}$$

$$m_L^z = K_0 \{ \delta_1 \cos \theta_1 - \sin \theta_1 + \sin(\theta_1 - \delta_1) \}$$

$$m_A^{z'} = [A_1 \delta_2 - \frac{A_2}{2} (\delta_2 - \frac{\cos(\delta_2 - \delta_1) - \cos(\theta_2)}{\sin \theta_2})] \frac{K_0}{A}$$

$$m_B^{z'} = [(A_2 - A_1) \delta_2 - \frac{A_3}{2} (\delta_2 - \frac{\cos(\delta_2 - \delta_1) - \cos(\theta_2)}{\sin \theta_2})] \frac{K_0}{A}$$

$$m_L^{z'} = K_0 \{ \delta_2 \cos \theta_2 - \sin \theta_2 + \sin(\theta_2 - \delta_2) \}$$

$$m_A^{z''} = [A_1 \delta_2 - \frac{A_2}{2} (\delta_2 - \frac{\cos(\delta_2 - \delta_1) - \cos(\theta_2)}{\sin \theta_2})] \frac{K_0}{A}$$

$$m_B^{z''} = [(A_2 - A_1) \delta_2 - \frac{A_3}{2} (\delta_2 - \frac{\cos(\delta_2 - \delta_1) - \cos(\theta_2)}{\sin \theta_2})] \frac{K_0}{A}$$

$$m_L^{z''} = K_0 \{ \delta_2 \cos \theta_2 + \sin \theta_2 - \sin(\theta_2 + \delta_2) \}$$

(C)両端および途中に塑性領域が生ずる場合(図-4参照) (a)と(b)を単に加えればよく結果のみ記せば次のとくである。

$$M_{AB} = \rho_e (A_{AB} \phi_a + b_{AB} \phi_b + C_{AB} \psi) + h_{AB} H + m_A^x M_{yA} + m_A^y M_{xA} + m_A^z M_{yA} + m_B^x M_{yB} + m_B^y M_{xB} + C_{AB}$$

$$M_{BA} = \rho_e (A_{BA} \phi_b + b_{BA} \phi_a + C_{BA} \psi) + h_{BA} H + m_B^x M_{yB} + m_B^y M_{xB} + m_B^z M_{yB} + m_A^x M_{yA} + m_A^y M_{xA} + C_{BA}$$

$$\Delta L = \frac{r}{EI} (h_B' M_{BA} - h_A' M_{AB}) - \frac{r^2}{EI} (h_A' H - m_A^x M_{yA} - m_A^y M_{xA} - m_A^z M_{yA} - m_B^x M_{yB} + m_B^y M_{xB}) + C_s$$

こゝに $A_{AB}, b_{AB}, C_{AB}, A_{BA}, b_{BA}, C_{BA}, m_A^x, m_A^y, m_A^z, m_B^x, m_B^y, m_B^z$ は(6)式, $m_A^x \dots m_B^z$ は(7)式, h_A', h_B', h_L' は(5)式で表わされ、式中の係数の内容を示せば表-1(C)の如くなる。また荷重項に関する値も次の内容に変る。

$$C_1 = \frac{EI}{2r} G_A + K_0 \left[\frac{M_0}{2} (1 - \frac{\sin \theta}{\sin \theta_1}) d\psi + K_0 \int_{(0, \theta_1)}^{\theta_1, \theta_2} \left(\frac{M_0}{2} (1 - \frac{\sin \theta}{\sin \theta}) d\psi + K_0 \int_{(0, \theta_2)}^{\theta_1, \theta_2} \left(\frac{M_0}{2} (1 - \frac{\sin \theta}{\sin \theta}) d\psi + K_0 \int_{(0, \theta_2)}^{\theta_1, \theta_2} \left(\frac{M_0}{2} (1 - \frac{\sin \theta}{\sin \theta}) d\psi + K_0 \right) d\psi \right) d\theta \right) d\psi \right]$$

$$C_2 = \frac{EI}{2r} G_A + K_0 \int_{(0, \theta_1)}^{\theta_1, \theta_2} \left[\frac{M_0}{2} (1 + \frac{\sin \theta}{\sin \theta_1}) d\psi + K_0 \int_{(0, \theta_1)}^{\theta_1, \theta_2} \left(\frac{M_0}{2} (1 + \frac{\sin \theta}{\sin \theta}) d\psi + K_0 \int_{(0, \theta_1)}^{\theta_1, \theta_2} \left(\frac{M_0}{2} (1 + \frac{\sin \theta}{\sin \theta}) d\psi + K_0 \int_{(0, \theta_1)}^{\theta_1, \theta_2} \left(\frac{M_0}{2} (1 + \frac{\sin \theta}{\sin \theta}) d\psi + K_0 \right) d\psi \right) d\theta \right) d\psi \right]$$

$$C_3 = N + \frac{K_0}{EI} \int_A^B M_0 y ds + \frac{K_0}{EI} \int_B^C M_0 y ds + \frac{K_0}{EI} \int_C^A M_0 y ds + \frac{K_0}{EI} \int_{C'}^{C''} M_0 y ds$$

(d) 道中に塑性ヒンジが生じた場合

図-4において部材の途中C点に塑性ヒンジが形成される場合の解析手法は、ACとCBの両柱に分けて、それぞれに各塑性領域を含むたわみ角式を適用し、塑性ヒンジ側の端モーメントを M_{pC} における。

表-1

	(a)	(b)	(c)
D_1	$\alpha + \beta$	$\gamma + \delta + \gamma_1 + \gamma_2 + \delta_1 + \delta_2$	(a)と (b)加 えた その 他の
D_2	$\cos(\theta - \alpha) - \cos(\theta - \beta)$	$\cos \delta - \cos \theta + \cos(\theta_1 - \delta_1) - \cos(\theta_1 + \delta_1) + \cos(\theta_2 - \delta_2) - \cos(\theta_2 + \delta_2)$	
D_3	$2 \sin \theta - \sin(\theta - \alpha) - \sin(\theta - \beta)$	$\sin \delta + \sin \theta + \sin(\theta_1 + \delta_1) - \sin(\theta_1 - \delta_1) + \sin(\theta_2 + \delta_2) - \sin(\theta_2 - \delta_2)$	
D_4	$\cos 2(\theta - \alpha) - \cos 2(\theta - \beta)$	$\cos 2\delta - \cos 2\theta + \cos 2(\theta_1 - \delta_1) - \cos 2(\theta_1 + \delta_1) + \cos 2(\theta_2 - \delta_2) - \cos 2(\theta_2 + \delta_2)$	
D_5	$2 \sin 2\theta - \sin 2(\theta - \alpha) - \sin 2(\theta - \beta)$	$\sin 2\delta + \sin 2\theta + \sin 2(\theta_1 + \delta_1) - \sin 2(\theta_1 - \delta_1) + \sin 2(\theta_2 + \delta_2) - \sin 2(\theta_2 - \delta_2)$	

(II) 解法 連続アーチの弾塑性解析を行ふには、以上導いたたわみ角式の中から荷重ならびにアーチ特性に応じた式を用ひ、また橋脚のあるときは既往の式を併用し、節点の回転角および変位を未知数としてこれらを節点方程式、せん断力のつり合い式およびスパン方程式などを用いて解く。いわゆる往來の変形法を用うることに帰着する。さらに塑性領域範囲を示す α, β などの未知数に対しても曲げモーメントの適合条件式、例えば図-2における塑性部分の先端A点の作用モーメント M_{yA} に等しかるべき条件より $M_{yA} = \frac{M_{AB}}{2} (1 - \frac{\sin \theta}{\sin \theta_1}) + \frac{M_{BA}}{2} (1 + \frac{\sin \theta}{\sin \theta_1}) - H r (\cos \theta - \cos \theta_1) + M_0 (\alpha) \dots (9)$ が成立し、これが領域未知数 α に対処するわけであつて結果未知数と同数の条件式から得られる事になるが、その算法は繰返し試算を必要とする。尚本研究は文部省科学研究費の補助を受けた。
 (1) 山崎田正氏「塑性解析の技術」第1回年次学術講演会論文概要
 (2) Tadashi Murakami : Studies on the Slope Deflection Method, *Memories of Faculty of Engineering, Kyushu Univ.*, Vol.14, No.1, 1953 (3) T. YAMASAKI : Analysis of Semi-Rigid Frame with Curved Members considering the Effect of Rigid Joint-Wall, *Proc. of the 12th. Japan National Congress for Appl. Mech.*, 1963, (4) 山崎田正氏:「複雑形状による骨組の弾塑性解析とその応用」建築学会論文報告集第30号
 (5) 山崎田正氏:「塑性領域を考慮した工学的アーチ法による複雑形状の大わみ角式の説明」、土木学会西部支部会報第39号2月

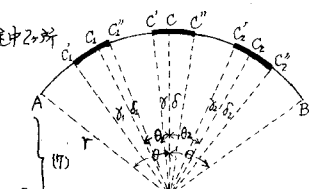


図-3

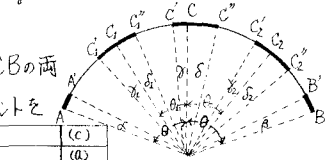


図-4